

# Harmonikus oszcillátor

Tuhári Richárd

2018. március 11.

## Tartalomjegyzék

<b>1. Bevezető</b>	<b>3</b>
<b>2. Elmélet</b>	<b>3</b>
2.1. Analitikus tárgyalás . . . . .	3
2.1.1. A diffegyenletek . . . . .	3
2.1.2. A tehetetlenségi tenzor . . . . .	4
2.1.3. Fizikai inga . . . . .	5
2.2. Numerikus tárgyalás . . . . .	5
2.2.1. A bemeneti paraméterek: . . . . .	5
2.2.2. A kimeneti paraméterek: . . . . .	6
<b>3. Kiértékelés</b>	<b>6</b>
3.1. Kitérés-, sebesség-, energia-idő diagrammok . . . . .	7
3.2. Fázistér diagram . . . . .	10
<b>4. A korábbi közelítések érzékenységeinek vizsgálata, különböző numerikus differenciálegyenlet megold</b>	
4.1. Euler-módszer . . . . .	12
4.2. Euler-Cromer módszer . . . . .	12
4.3. Runge-kutta módszer . . . . .	13
4.4. Lépéshossz váktoztatással . . . . .	13
<b>5. Kettős inga</b>	<b>15</b>
<b>6. Diskusszió</b>	<b>18</b>
<b>7. Hivatkozások</b>	<b>18</b>

<b>8. Függelék</b>	<b>18</b>
8.1. Adaptív Runge-Kutta . . . . .	18

## 1. Bevezető

A szimuláció célja, az ingamozgás különböző közelítéseinek modellezése valamint az egyes kitérés-idő, sebesség-idő, energia-idő és kitérés-sebesség diagrammok ábrázolása, a közelítések különböző numerikus differenciálegyenletmegoldó módszerekre való érzékenységeinek vizsgálata. További feladat egy kettős inga szimulációja, a trajektóriák és fázisterek különböző beállítás-paraméterek melletti vizsgálata és az átbillenési jelenség fázissteréne rekonstrukciójára folytatott kísérlet.

## 2. Elmélet

### 2.1. Analitikus tárgyalás

#### 2.1.1. A diffegyenletek

A Lagrange függvény:

$$L = \frac{m}{2} \ell^2 \dot{\phi}^2 + mg\ell \cos \phi \quad (1)$$

Megoldva az Euler-Lagrange-t:

$$\frac{d}{dt} \frac{\partial L}{\partial \dot{\phi}} = \frac{\partial L}{\partial \phi} \rightarrow m\ell^2 \ddot{\phi} = -mg\ell \sin \phi \rightarrow \ddot{\phi} = -\frac{g}{\ell} \sin \phi \quad (2)$$

Kicsi x-re  $\sin x \approx x$

$$\ddot{\phi} = -\frac{g}{\ell} \phi \quad (3)$$

Sűrű közere a Rayleigh függvény

$$R = \frac{\gamma}{2} |\dot{\phi}|^2 = \frac{\gamma}{2} \ell^2 |\dot{\phi}|^2 \quad (4)$$

Megoldva az Lagrange-Rayleigh-t:

$$\frac{d}{dt} \frac{\partial L}{\partial \dot{\phi}} = \frac{\partial L}{\partial \phi} - \frac{\partial R}{\partial \dot{\phi}} \rightarrow m\ell^2 \ddot{\phi} = -mg\ell \sin \phi - \gamma \ell^2 \dot{\phi} \rightarrow \ddot{\phi} = -\frac{g}{\ell} \sin \phi - \frac{\gamma}{m} \dot{\phi} \quad (5)$$

Mindez harmonikus gerjesztéssel:

$$\ddot{\phi} = -\frac{g}{\ell} \sin \phi - \frac{\gamma}{m} \dot{\phi} + F_D \sin(\Omega_D t) \quad (6)$$

Oldjuk meg a differenciálegyenletet Green-függvény segítségével:

$$\ddot{\phi} + \frac{\gamma}{m} \dot{\phi} + \frac{g}{\ell} \phi = \frac{F(t)}{m} = f(t) \quad (7)$$

Legyen  $\frac{\gamma}{m} = \alpha$  és  $\frac{g}{\ell} = \omega_0^2$

$$\ddot{\phi} + \alpha \dot{\phi} + \omega_0^2 \phi = f(t) \quad (8)$$

A Fourier transzformáltak:

$$\int_{-\infty}^{\infty} \omega_0^2 \phi e^{-i\omega t} dt = \omega_0^2 \tilde{\phi}(\omega) \quad (9)$$

$$\int_{-\infty}^{\infty} \alpha \dot{\phi} e^{-i\omega t} dt = i\omega \alpha \tilde{\phi}(\omega) \quad (10)$$

$$\int_{-\infty}^{\infty} \ddot{\phi} e^{-i\omega t} dt = -\omega^2 \tilde{\phi}(\omega) \quad (11)$$

Tehát:

$$(-\omega^2 + i\alpha\omega + \omega_0^2) \tilde{\phi}(\omega) = \tilde{f}(\omega) \quad (12)$$

$f(t) = \delta(t)$ -re  $\rightarrow \tilde{f}(\omega) = 1$ ,  $\tilde{G}(\omega) = \frac{1}{-\omega^2 + i\alpha\omega + \omega_0^2}$   
 ekkor a Green-függvény:

$$G(t) = \frac{1}{2\pi} \int_{-\infty}^{\infty} \tilde{G}(\omega) e^{i\omega t} d\omega = \frac{1}{2\pi} \int_{-\infty}^{\infty} \frac{e^{i\omega t}}{-\omega^2 + i\alpha\omega + \omega_0^2} d\omega = * \quad (13)$$

A pólusok:

$$\omega_{1,2} = \frac{i\alpha \pm \sqrt{-\alpha^2 + 4\omega_0^2}}{-2} = -\frac{i\alpha}{2} \pm \sqrt{\omega_0^2 - \left(\frac{\alpha}{2}\right)^2} \quad (14)$$

$\omega_0^2 - \left(\frac{\alpha}{2}\right)^2$  legyen  $= \omega_\alpha^2$

$$Res(f, \omega_1) = \lim_{\omega \rightarrow \omega_1} (\omega - \omega_1) \frac{e^{i\omega t}}{-(\omega - \omega_1)(\omega - \omega_2)} = \frac{e^{-\frac{\alpha}{2}t} e^{i\omega_\alpha t}}{-2\omega_\alpha} \quad (15)$$

ugyan így számolva:

$$Res(f, \omega_2) = \frac{e^{-\frac{\alpha}{2}t} e^{-i\omega_\alpha t}}{2\omega_\alpha} \quad (16)$$

$$* = \frac{1}{2\pi} 2\pi i \frac{e^{-\frac{\alpha}{2}t}}{2\omega_\alpha} (e^{-i\omega_\alpha t} - e^{i\omega_\alpha t}) = \frac{e^{-\frac{\alpha}{2}t}}{\omega_\alpha} \sin(\omega_\alpha t) \quad (17)$$

Konvolválva  $f(t)$ -t  $G(t)$ -vel, megkapjuk  $\phi(t)$ -t:

(18)

### 2.1.2. A tehetetlenségi tenzor

Steiner tétel:

$$\Theta_{ij} = \sum_k m_k (r_{(k)}^2 \delta_{ij} - r_{(k)i} r_{(k)j}) \quad (19)$$

A tenzor számítása:

$$\Theta_{ij} = \int d^3r (r^2 \delta_{ij} - r_i r_j) \quad (20)$$

Hogy megkapjuk a tehetelenségi tenzort a rúd végén először ki kell számolnunk a rúdra középen:

$$\int_m z^2 dm = \rho \int_V z^2 dV = \rho A \int_{-\frac{L}{2}}^{\frac{L}{2}} z^2 dz = \rho A \left[ \frac{z^3}{3} \right]_{-\frac{L}{2}}^{\frac{L}{2}} = \frac{1}{12} (\rho A L) L^2 = \frac{1}{12} m h^2 \quad (21)$$

Állított rúd tkp-ja  $\frac{L}{2}$ -nél van tehát legyen  $\underline{a}$ :

$$\underline{a} = \begin{pmatrix} \frac{L}{2} \\ 0 \\ 0 \end{pmatrix} \quad (22)$$

$$\underline{a} \circ \underline{a} = \begin{pmatrix} \frac{L^2}{4} & 0 & 0 \\ 0 & 0 & 0 \\ 0 & 0 & 0 \end{pmatrix} \quad (23)$$

$$\mathbb{1}\underline{a}^2 = \begin{pmatrix} \frac{L^2}{4} & 0 & 0 \\ 0 & \frac{L^2}{4} & 0 \\ 0 & 0 & \frac{L^2}{4} \end{pmatrix}, \quad (24)$$

Ezek után a rúd végére a Steiner-tétellel:

$$\Theta = \frac{ML^2}{12} \mathbb{1} + M(\mathbb{1}\underline{a}^2 - \underline{a} \circ \underline{a}) = ML^2 \left( \frac{1}{12} + \frac{1}{4} \right) = \frac{ML^2}{3} \quad (25)$$

### 2.1.3. Fizikai inga

Található olyan matematikai inga, melynek lengésideje megegyezik egy fizikai ingáéval. Ebben az inga redukált hossza lesz a segítségünkre.

$$\ell_0 = \frac{\Theta}{mL}, \quad (26)$$

ahol  $\Theta$  a merev test adott tengelyre vonatkozó tehetelenségi nyomatéka. Ez merev rúd végpont-jára  $\frac{m\ell^2}{3}$

Tehát a programokban általánosan használt (8)-as hossz, redukált értéke:  $\ell_0 = \frac{8}{3}$

## 2.2. Numerikus tárgyalás

A tárgy honlapjáról letöltött mintaprogram alapesetben adaptív Runge-Kutta módszerrel dolgozik, melynek hibája  $\mathcal{O}(\tau^5)$ .

### 2.2.1. A bemeneti paraméterek:

```
cout << " Length of pendulum L: ";
cin >> L;
cout << " Enter damping coefficient q: ";
cin >> q;
cout << " Enter driving frequency Omega_D: ";
cin >> Omega_D;
cout << " Enter driving amplitude F_D: ";
cin >> F_D;
```

```

cout << " Enter theta(0) and omega(0): ";
double theta, omega, tMax;
cin >> theta >> omega;
cout << " Enter integration time t_max: ";
cin >> tMax;

```

Illetve még, hogy a rendszer lineáris-e, vagy sem.

### 2.2.2. A kimeneti paraméterek:

Minimális átalakítás után, már az energiákat is tartalmazva:

```

dataFile << t << '\t' << theta << '\t' << omega << '\t' << e << '\n';

```

Ezek egy data fájlba íródnak ki, azokkal dolgozhatunk tovább.

## 3. Kiértékelés

A következőkben csillapítás nélküli, csillapított, gerjesztett-csillapított matematikai inga és egy csillapítás nélküli fizikai inga kitérés-idő, sebesség idő és energia-idő diagrammját láthatjuk.

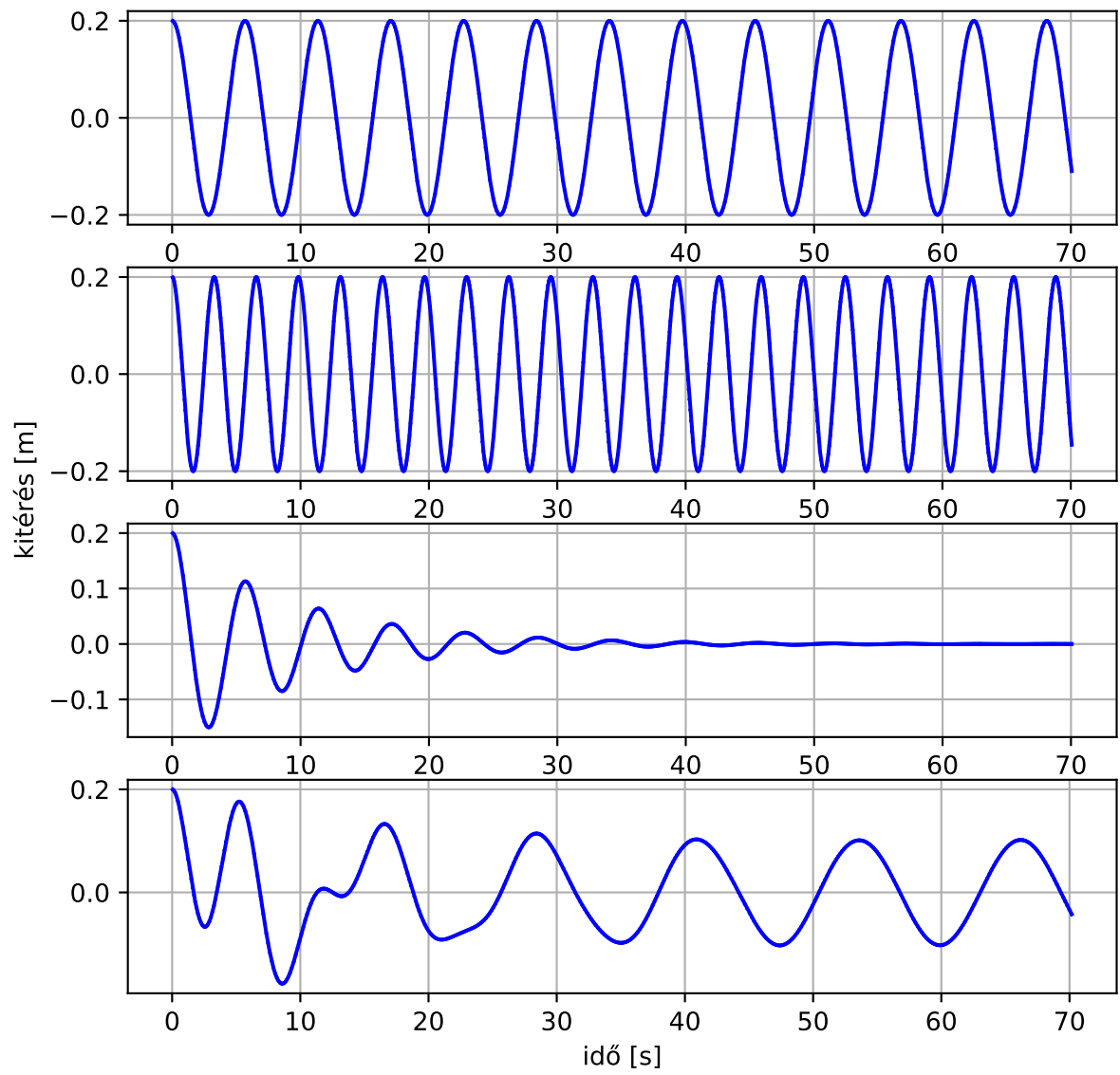
Az általam megadott paraméterek (matematikai inga/csillapított/gerjesztett-csillapított/fizikai inga):

```

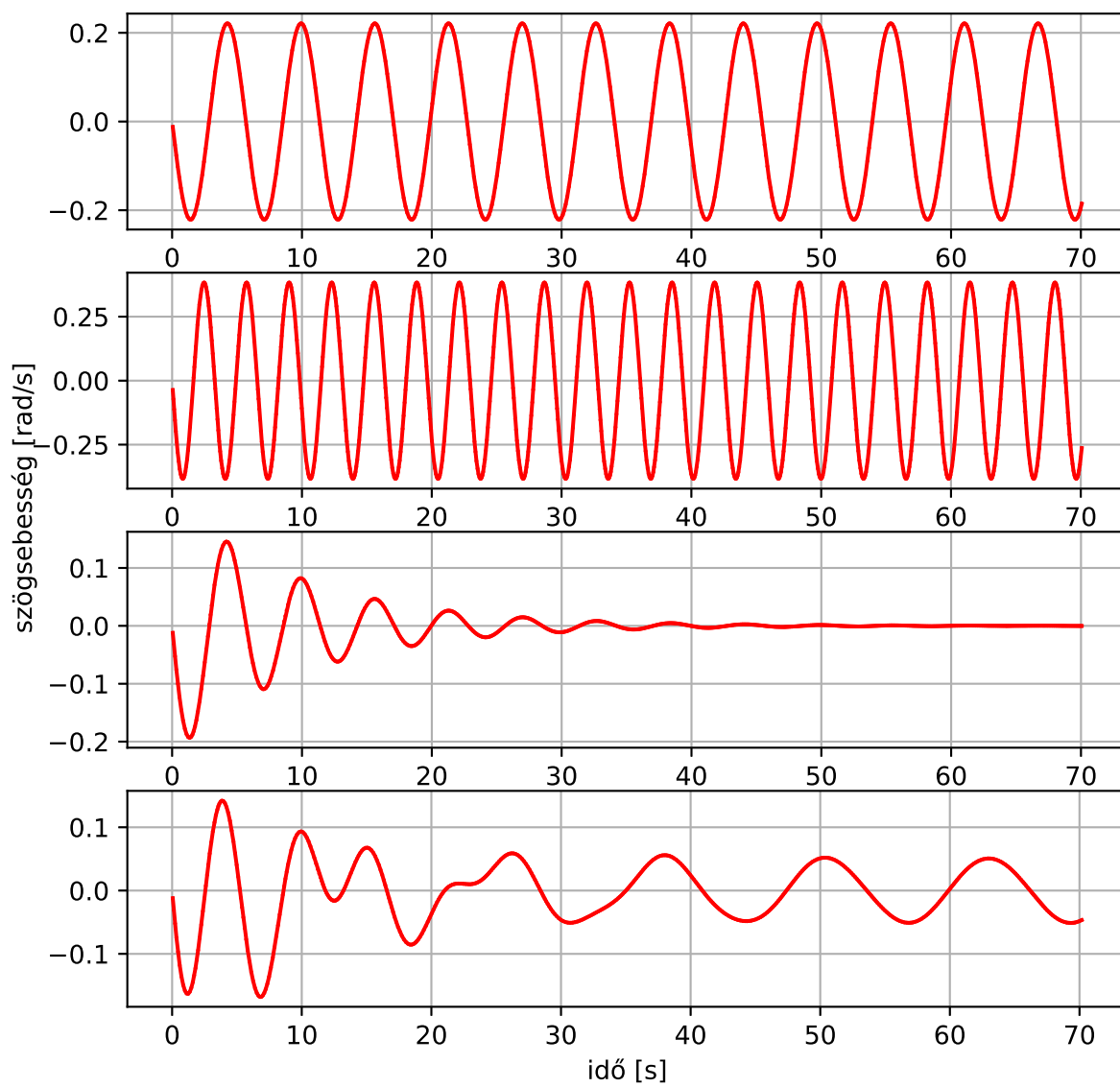
Enter linear or nonlinear: linear/nonlinear
Length of pendulum L: 8/8/8/2.6666
Enter damping coefficient q: 0/0.2/0.2/0
Enter driving frequency Omega_D: 0/0/0.5/0
Enter driving amplitude F_D: 0/0/0.2/0
Enter theta(0) and omega(0): 0.2/0.2/0.2/0.2
Enter integration time t_max: 70/70/70/70

```

### 3.1. Kitérés-, sebesség-, energia-idő diagrammok

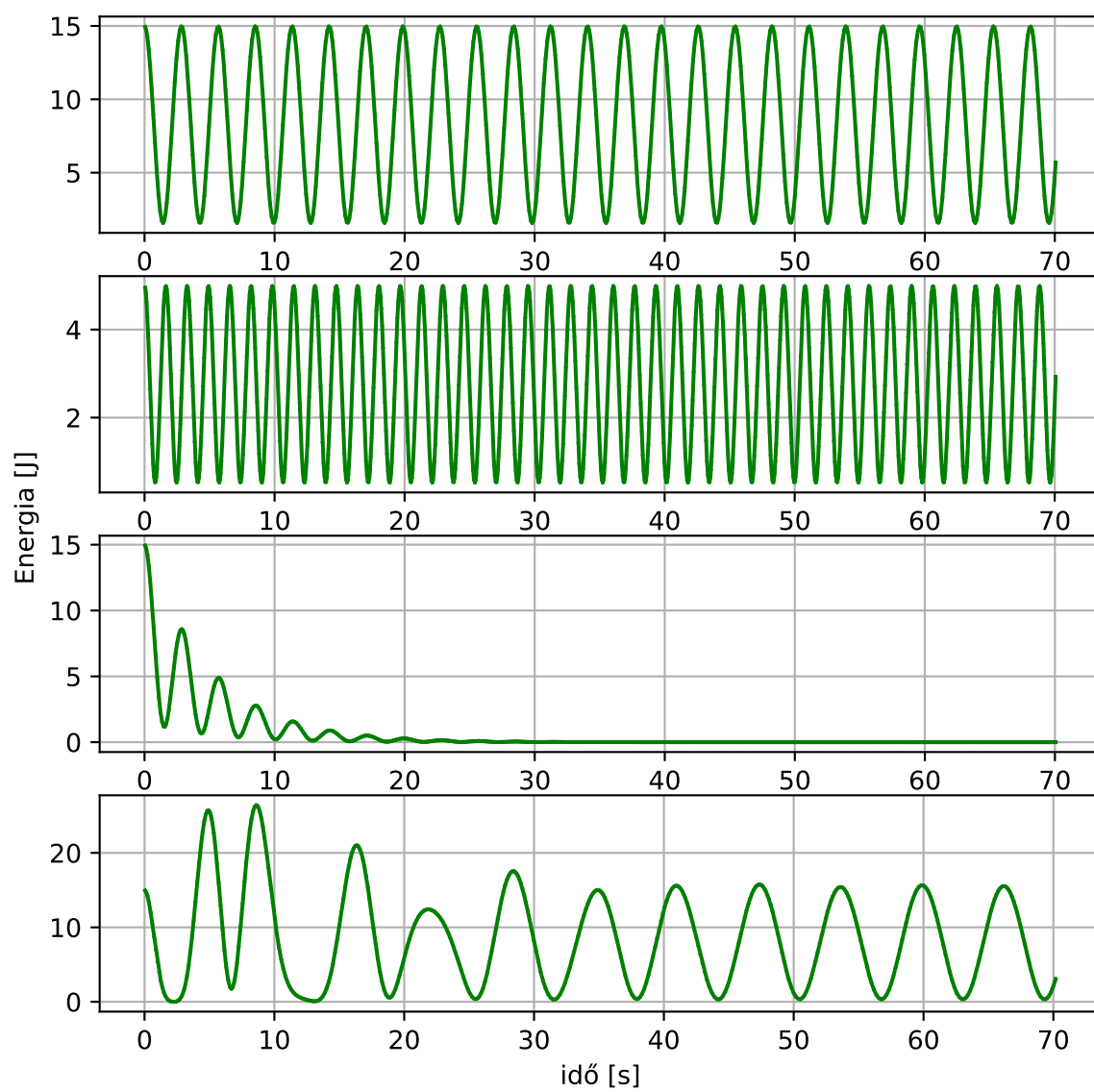


1. ábra. Kitérés-idő diagramm



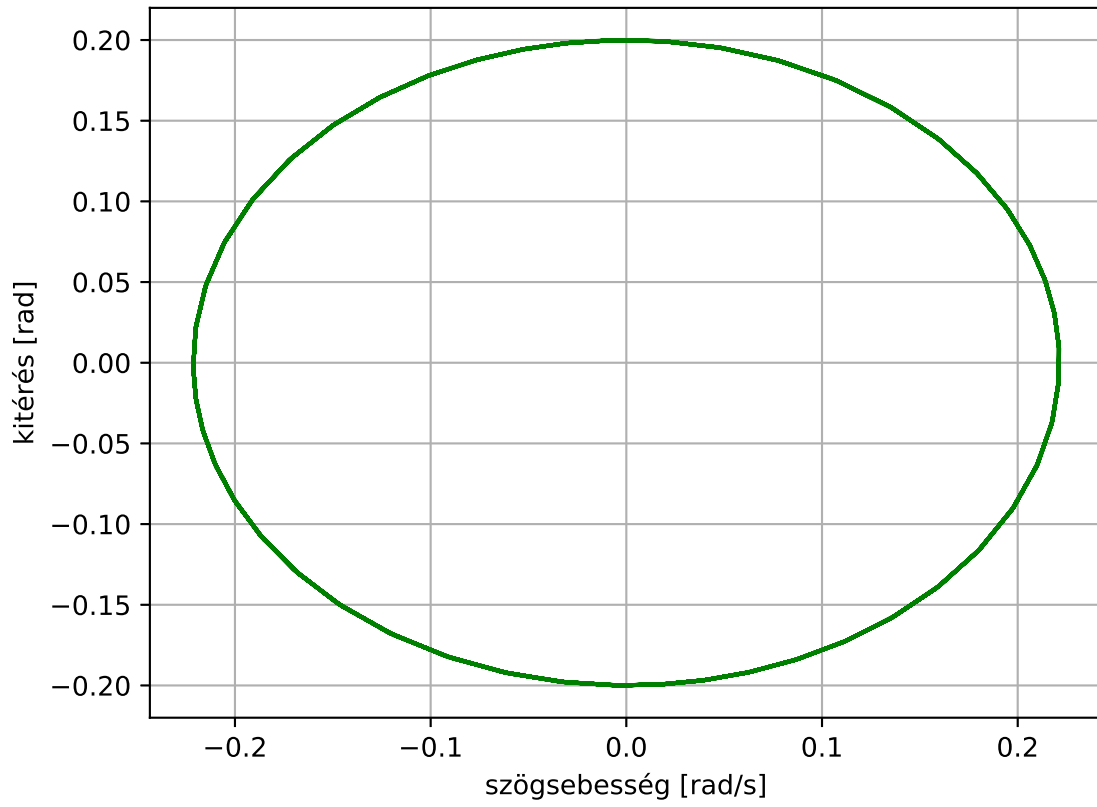
2. ábra. Sebeesség-idő diagramm



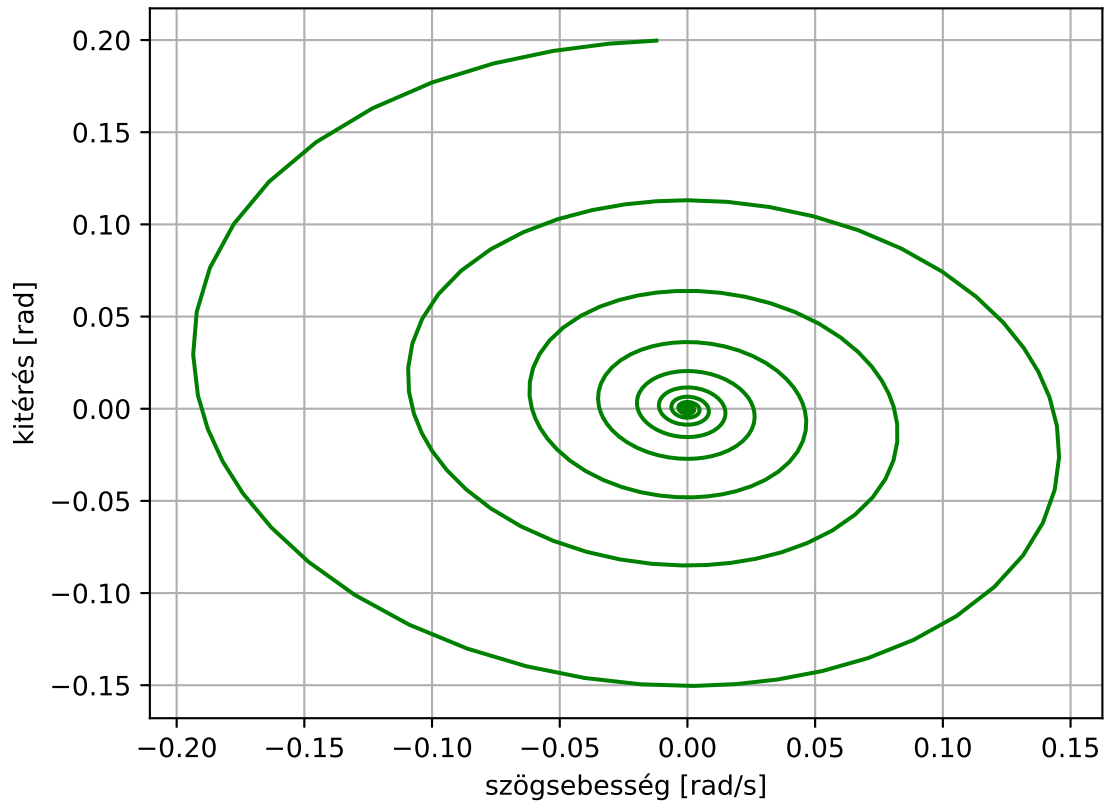


3. ábra. Energia-idő diagramm

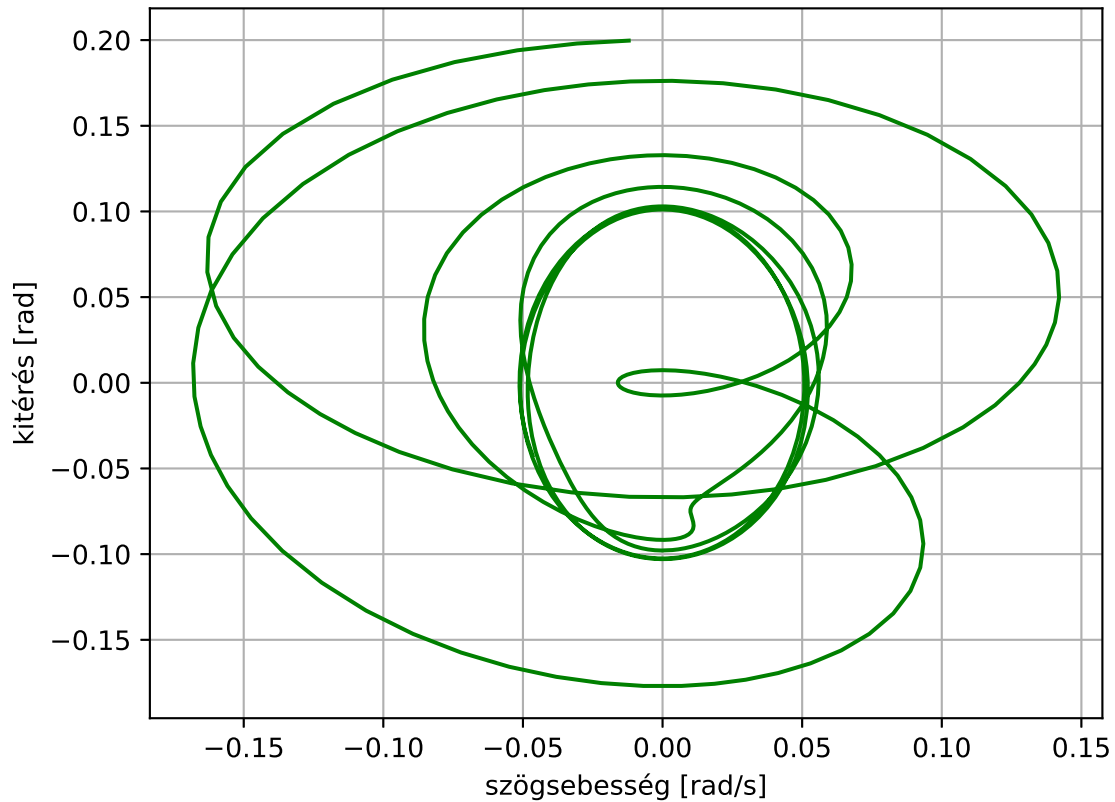
### 3.2. Fázistér diagram



4. ábra. Kitérés-sebesség diagramm csillapítatlan inga esetén



5. ábra. Kitérés-sebesség diagramm csillapított inga esetén



6. ábra. Kitérés-sebesség diagramm gerjesztett-csillapított inga esetén

#### 4. A korábbi közelítések érzékenységének vizsgálata, különböző numerikus differenciálegyenlet megoldó módszerekre

##### 4.1. Euler-módszer

```
void Euler (double dt) {
    double a = - omega * omega * x;
    v += a * dt;
    x += v * dt + x;
}
}
```

##### 4.2. Euler-Cromer módszer

```
void EulerCromer (double dt) {
```

```

    double a = - omega * omega * x;
    v += a * dt;
    x += v * dt;
}
}

```

### 4.3. Runge-kutta módszer

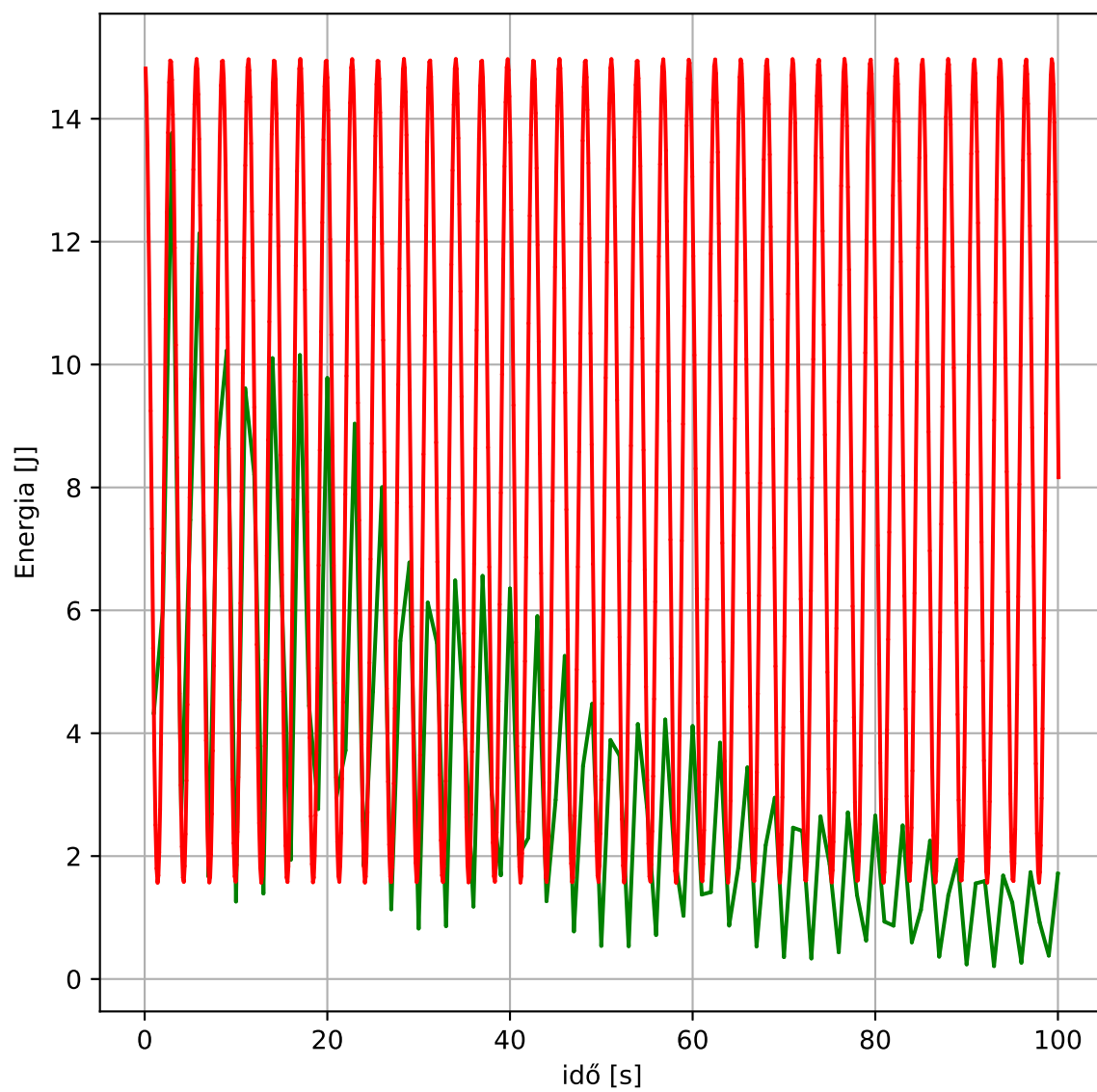
```

void RK4Step(Vector& x, double tau,
             Vector derivs(const Vector&))
{
    Vector k1 = tau * derivs(x);
    Vector k2 = tau * derivs(x + 0.5 * k1);
    Vector k3 = tau * derivs(x + 0.5 * k2);
    Vector k4 = tau * derivs(x + k3);
    x += (k1 + 2 * k2 + 2 * k3 + k4) / 6.0;
}

```

### 4.4. Lépéshossz váktoztatással

Ezen kód, a hosszúsága miatt, a függelékben megtalálható: 8.1



7. ábra. Az adaptív Runge-Kutta (piros) viszonya a simáéhoz (zöld)

## 5. Kettős inga

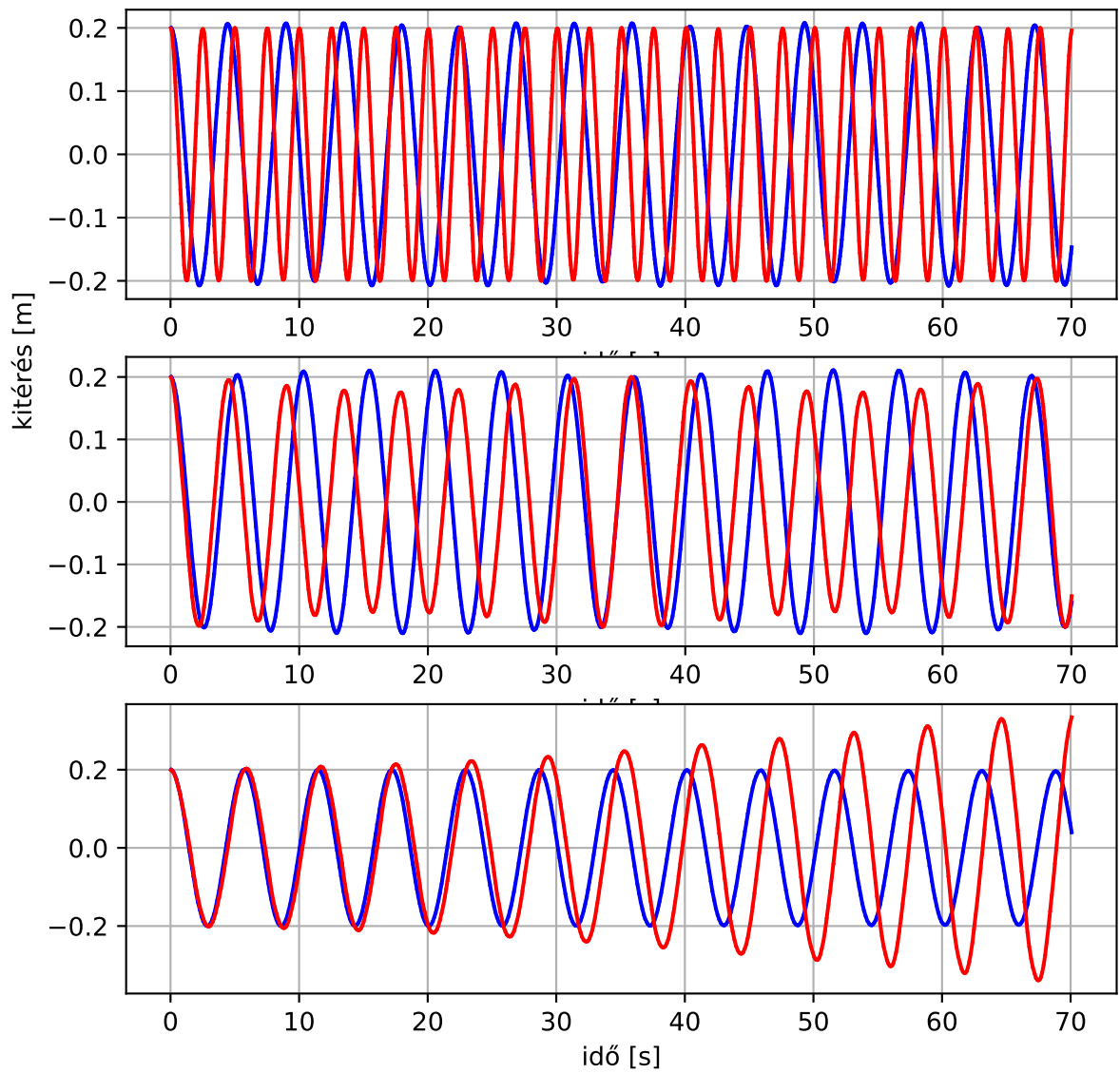
Itt a kettős ingát próbáltam meg szimulálni, kiegészítve a laborbéli programot, a mozgásegyenlet átírásával (kettőre) és az eddig is használt változók bevezetésére, az új ingára is. Mivel itt is figyelembe lehetett venni a redukált hosszt, nem lett bonyolult az átalakítás. Példának okául, ha a két ingát megegyezőnek vesszük, akkor a differenciálegyenletek, persze később ahol lehet, élve a  $\sin x \approx x$  közelítéssel:

$$f[2] = (-2 * l_2 * l_2 * \omega_1 * \omega_2 * \sin(\alpha - \beta) - 3 * (g) * (l_1 + 2 * l_2) * \sin(\alpha) + \\ - 2 * l_2 * l_2 * (f[5] * \cos(\alpha - \beta) - \omega_2 * \sin(\alpha - \beta) * (\omega_1 - \omega_2))) / (5 * l_1 * l_1);$$

$$f[5] = (2 * \omega_1 * \omega_2 * \sin(\alpha - \beta) - (g / l_2) * \sin(\beta) + \\ - 2 * (f[2] * \cos(\alpha - \beta) - \omega_1 * \sin(\alpha - \beta) * (\omega_1 - \omega_2)));$$

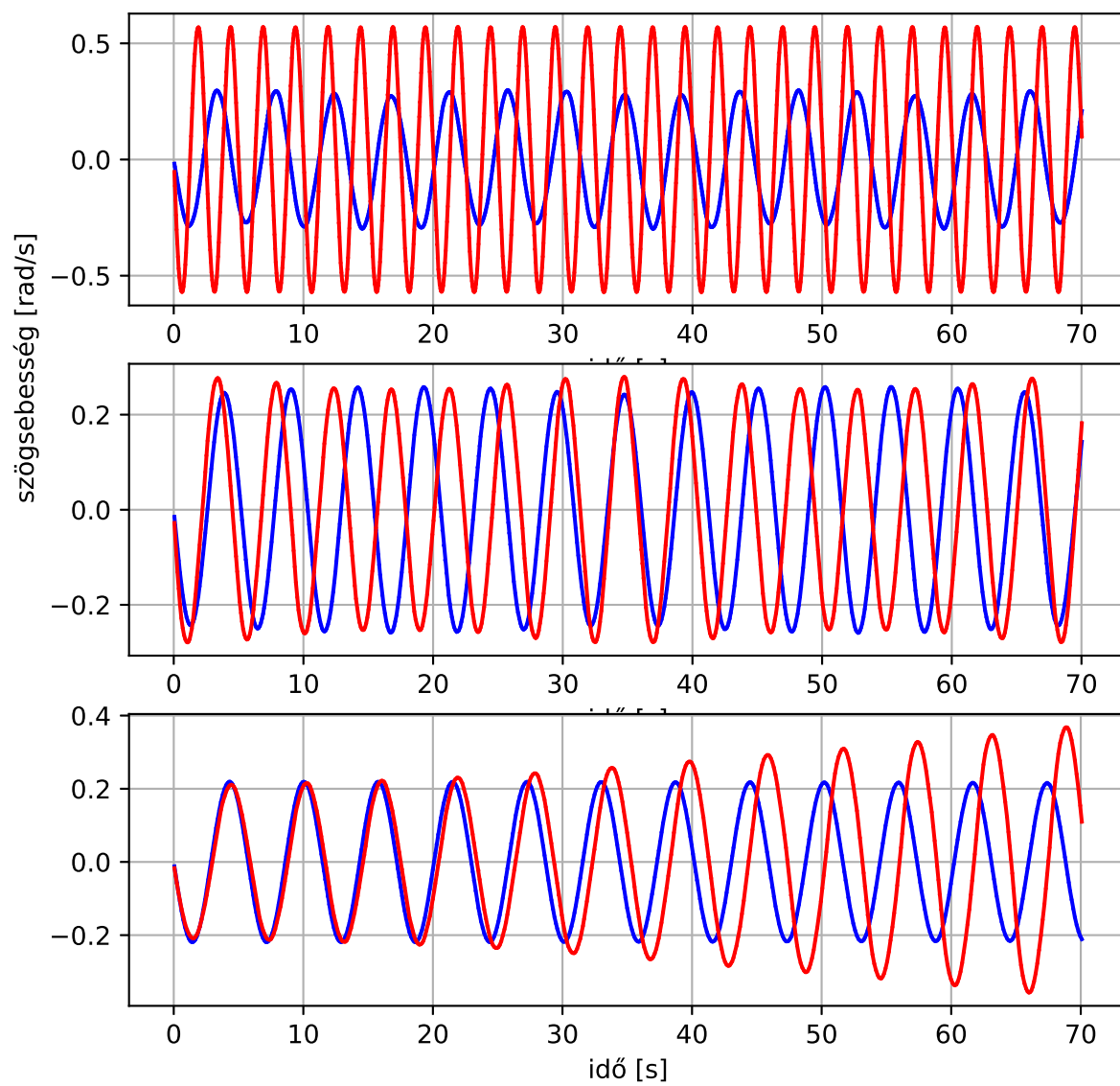
Három különböző esetet vizsgáltam:

- Az első rövid, a csatolt hosszú
- Mindkettő ugyanannyira hosszú
- Az első hosszú, a csatolt rövid



8. ábra. A kettős inga kitérés-idő diagrammja (1. kék, 2. piros)





9. ábra. A kettős inga sebesség-idő diagrammja (1. kék, 2. piros)

## 6. Diszkusszió

Tekintsük először a 3-as ábrát. Látható, hogy csillapított rezgésnél nagyon szépen eltűnik az energia, és gerjesztett-csillapítottnál is gyönyörűen látszik, hogy a rendszer egy idő után elfelejti a kiindulási állapotát (habár ez a kitérés időnél még jobban :1). Az, hogy külső behatás nélküli rendszerben, a matematikai és a fizikai ingánál (első kettő) miért oszcillál és nem konstans, az valószínűleg a numerikus módszerből adódik. A numerikus módszerek összehasonlításánál jól látszik 9, hogy elég nagy(vagy megfelelően kicsi) lépésköznél a sima Runge-Kutta már nem tartja az energiát. A kettős ingánál észrevehető, hogy elég könnyen kaotikussá tud válni a rendszer, viszont az is, hogy ha az első ingát kicsinek vesszük a csatolthoz képest, akkor az rendes ingaként fog működni, amit ha jobban rápillantunk a diffegyenleteire amúgy várunk is.

## 7. Hivatkozások

<https://stegerjosef.web.elte.hu/teaching/szamszim/index.php>

## 8. Függelék

### 8.1. Adaptív Runge-Kutta

```
void adaptiveRK4Step(Vector& x, double& tau, double accuracy,
                    Vector derivs(const Vector&))
{
    const double SAFETY = 0.9, PGROW = -0.2, PSHRINK = -0.25,
                ERRCON = 1.89E-4, TINY = 1.0e-30;
    int n = x.dimension();
    Vector x_half(n), x_full(n), Delta(n);
    Vector scale = derivs(x);
    for (int i = 0; i < n; i++)
        scale[i] = abs(x[i]) + abs(scale[i] * tau) + TINY;
    double err_max;
    while (true) {
        // take two half steps
        double tau_half = tau / 2;
        x_half = x;
        RK4Step(x_half, tau_half, derivs);
        RK4Step(x_half, tau_half, derivs);
        // take full step
        x_full = x;
        RK4Step(x_full, tau, derivs);
        // estimate error
        Delta = x_half - x_full;
        err_max = 0;
        for (int i = 0; i < n; i++)
            err_max = max(err_max, abs(Delta[i]) / scale[i]);
        err_max /= accuracy;
        if (err_max <= 1.0)
```

```

        break;
double tau_temp = SAFETY * tau * pow(err_max, PSHRINK);
if (tau >= 0.0)
    tau = max(tau_temp, 0.1 * tau);
else
    tau = min(tau_temp, 0.1 * tau);
if (abs(tau) == 0.0) {
    cerr << "adaptiveRK4Step: step size underflow\naborting ..."
         << endl;
    exit(EXIT_FAILURE);
}
}
tau *= (err_max > ERRCON ? SAFETY * pow(err_max, PGROW) : 5.0);
x = x_half + Delta / 15.0;
}

```